

رسائل جغرافية

# التوزيع الزماني والمكاني للأمطار في مدينة الرياض

د. محمد عبد الله الصالح

ذو القعدة ١٤١٧ هـ  
أبريل ١٩٩٧ م

٤٠٣

دَفْرِيَةُ عَلَيْهِ مُحَمَّدٌ كَمَّةٌ تُعَنِّي بِالبَحْثِ الجُغرَافِيِّ  
يَصْدِرُهَا وَتُسَمِّيُ الْجُغرَافِيَّةُ الْكُوَيْتِيَّةُ

بِسْمِ اللَّهِ الرَّحْمَنِ الرَّحِيمِ  
الْتَّوْزِيعُ الْزَّمَانِيُّ وَالْمَكَانِيُّ لِلأَمْطَارِ  
فِي مَدِينَةِ الرِّيَاضِ

د. محمد عبدالله الصالح

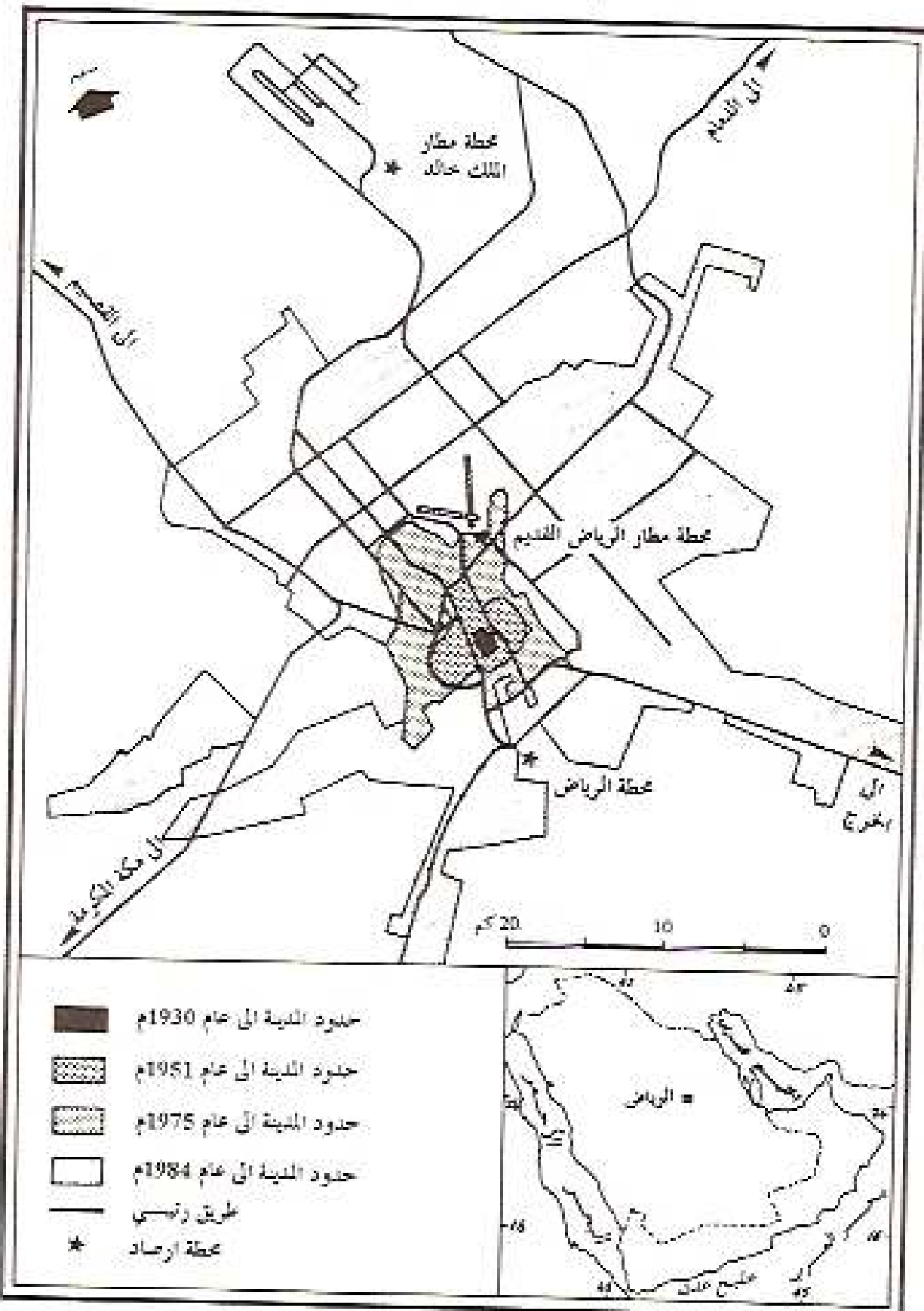
### مقدمة

تقع مدينة الرياض على وادي حنيفة إلى الشرق من جبال طويق في وسط المملكة العربية السعودية وتحتل مساحة تمتد بين دائرة عرض  $24^{\circ} 30'$  و  $25^{\circ} 00'$  شمالاً وخطي طول  $46^{\circ} 00'$  و  $47^{\circ} 00'$  شرقاً . وجبل طويق عبارة عن هضبة كويستا تحدى بشدة (جال) نحو الغرب وتحدر تدريجياً نحو الشرق . وصرف هضبة جبل طويق أودية عميقه تتبع الانحدار العام للهضبة وتصب في وادي حنيفة الذي يتوجه بشكل عام من الشمال إلى الجنوب . وإلى الشرق من وادي حنيفة الأرض قليلة التضرس وخفيفة الانحدار ويصرفها بشكل رئيسي وادي الأيسن ووادي البطحاء .

ولقد شهدت مدينة الرياض في النصف الثاني من هذا القرن نمواً سريعاً في جميع الاتجاهات ، ولكن معدل النمو نحو الشرق والشمال يفوق بكثير معدل النمو نحو الغرب والجنوب (شكل ١) . والاختلاف في معدلات النمو ربما يعزى لتأثير العوامل الجيولوجية والمناخية . ونظرأً للتوزع الكبير نحو الشرق والشمال ، لذا فإن المدينة تحمل كاملاً حوض وادي البطحاء والأجزاء السفلية والواسطى من حوض وادي الأيسن .

ومساحة مدينة الرياض قبل عام ١٩٥٠ كانت أقل من ٤ كم مربع (Barth)

شكل رقم (١) مراحل نمو مدينة الرياض



المصدر : (Hath, H.K. and F. Quiel, 1987)

، بينما تقدر في الوقت الحاضر بأكثر من ٦٠٠ كم مربع . (Quiel 1987) ومعظم هذه المساحة تكون من سطوح غير منقذة (مباني وطرق وأرصفة ومواقف سيارات) ، الأمر الذي يساعد على زيادة الجريان السطحي في المدينة . ولقد أشار موسى (١٩٨٢) إلى أن «الشوارع الاسفلتية وممرات المنشآة الجانبيّة وأسطح البيوت وفناء البيوت ومناطق الساحات الكبيرة ، كلها تساهم في زيادة الجريان السطحي للمياه الهاطلة ، حتى لو كانت كمية الأمطار قليلة فإنها ستتساب على السطح في المدينة» (ص ٢١٧) .

وتحصل في الرياض بقلة الأمطار ، إذ يبلغ المعدل السنوي للأمطار فيها حوالي ٩٨ مم ، ولكن معظم الأمطار في وسط المملكة العربية السعودية تحدث من سحب رعدية صغيرة المساحة وذات أمطار غزيرة تسقط في فترة زمنية قصيرة تؤثر فقط في المناطق الواقعه على خط سيرها . ونظراً لشدة سقوط الأمطار وتوجود الطوح المصمتة لذا فإن معظم المياه الساقطة تجري على السطح وبكميات كبيرة في فترة زمنية قصيرة ، الأمر الذي يجعل مياه السيول تخفيض في بعض الأحيان في الشوارع وذلك بسبب زيادة كمية المياه الجارية على الطاقة الاستيعابية لنظام تصريف السيول أو لالتسداد الجزئي أو الكلي لنظام التصريف بالاثرية أو لعدم وجود نظام تصريف .

والدراسات التي تتعلق بخصائص الأمطار في مدينة الرياض محدودة وغير شاملة . فقد أشار النص (١٩٧٠) في بحثه عن «المزاج الطبيعي لمنطقة نجد» إلى خصامنة الفروق في كميات الأمطار السنوية للرياض . وقد ناقش الشريف (١٩٧٣) ضمن دراسته للأحوال المناخية في مدينة الرياض خصائص الأمطار السنوية والشهرية . ودرس محمددين (١٩٨٩) خصائص الأمطار السنوية ، بالإضافة إلى ذلك توقشت الخصائص العامة للأمطار ضمن الخلقة الطبيعية في العديد من الدراسات المتعلقة بمدينة الرياض .

## هدف الدراسة

توفر الدراسات عن خصائص الأمطار أمر ضروري للمخططين وللمصممين وذلك عند العمل على حل المشاكل المرتبطة بتصريف البيول في المدينة أو عند التخطيط للاستفادة من هذه المياه . ونظراً لقلة ما كتب عن خصائص الأمطار في الرياض وخصوصاً عن الأمطار اليومية إضافة إلى أن ما كتب عنها يُعد قديماً نسبياً وبيانات الأمطار المستخدمة فيها كانت لفترة قصيرة ، لذا فإن الهدف من هذه الدراسة هو التعرف على الاختلافات الزمانية والمكانية للأمطار وذلك من خلال التحليل الإحصائي لبيانات الأمطار اليومية والشهرية السنوية . كما تهدف هذه الدراسة إلى تحديد العلاقة بين الكمية والتكرار Depth-frequency لأعلى كمية أمطار يومية في السنة annual 24-hour prediction maximum rainfall وذلك كمحاولة للحصول على توقعات مستقبلية مقبولة لحوادث الأمطار الفصوى Extreme events .

## أساليب الدراسة

تحقيقاً لهدف هذه الدراسة فقد اتبعت الخطوات التالية :

- ١) الحصول على بيانات الأمطار اليومية من وزارة الزراعة والمياه لمحطة الرياض الواقعة عند دائرة عرض  $24^{\circ}34'$  شمالاً وخط طول  $46^{\circ}43'$  شرقاً للفترة من سنة ١٩٦٤م إلى سنة ١٩٩٣م ، وكذلك الحصول على بيانات الأمطار اليومية من مصلحة الأرصاد وحماية البيئة لمحطة مطار الرياض القديم الواقعة عند دائرة عرض  $24^{\circ}42'$  شمالاً وخط طول  $46^{\circ}44'$  شرقاً للفترة من سنة ١٩٦٦م إلى سنة ١٩٩٣م ، ولمحطة مطار الملك خالد الواقعة عند دائرة عرض  $24^{\circ}55'$  شمالاً وخط طول  $46^{\circ}43'$  شرقاً للفترة من سنة ١٩٨٤م إلى سنة ١٩٩٣م (مع ملاحظة أن محطة المطار القديم تقع إلى الشمال من محطة الرياض بمسافة قدرها ١٥ كم تقريباً ومحطة مطار الملك خالد تقع إلى الشمال من محطة المطار القديم بمسافة قدرها ٢٥ كم تقريباً).
- ٢) حساب معدلات الأمطار اليومية وأعلى كمية أمطار يومية في السنة والأمطار الشهرية والأمطار السنوية .
- ٣) حساب معامل الاختلاف للأمطار اليومية وأعلى كمية أمطار يومية في السنة والأمطار الشهرية والأمطار السنوية وذلك بتعليق المعادلة التالية :  
$$\text{معامل الاختلاف } (\%) = \frac{\text{الانحراف المعياري}}{\text{المعدل}} \times 100$$
- ٤) قسمة المعدلات اليومية وأعلى كمية أمطار يومية في السنة والشهرية والسنوية في محطة الرياض على تظيراتها في محطة مطار الرياض القديم :

- ٥) تحديد قيم معامل الارتباط بين كميات الأمطار في المحطات الثلاث .
- ٦) على المستوى الموضعي Point analysis وعلى المستوى الإقليمي تم تحديد العلاقة بين الكمية والتكرار لأعلى كمية أمطار يومية في السنة Extreme و ذلك بتطبيق نموذج التوزيع الاحتمالي للقيم القصوى نوع ١ Value Probability distribution Type I (EV1) وقد تم استخدام طريقة مربع كاي لاختبار حسن مطابقة Goodness of Fit لهذا التوزيع مع بيانات الأمطار وذلك على النحو التالي (Chow et al, 1988) :

$$X^2 = n [f(x_i) - p(x_i)]^2 / p(x_i)$$

حيث أن :

$$X^2 = \text{مربع كاي} .$$

$n$  = عدد السنوات خلال فترة التجيل .

$f(x_i)$  = التكرار النسبي .

$p(x_i)$  = الفرق بين قيم الاحتمالية التجمعية  $F(x_i)$  للتوزيع الاحتمالي للقيم القصوى والتي تحسب من المعادلة التالية :

$$F(x_i) = \exp [-\exp (-y)]$$

$$y = x - u/a$$

$$u = 2.4495s + 3.1416$$

$$u = \bar{x} - 0.5772a$$

حيث إن :

$y$  = المتغير المخفض Reduced Variate .

$a & u$  = معالم (متغيرات) Parameters للتوزيع الاحتمالي للقيم القصوى .

$s$  = الانحراف المعياري .

$x$  = أعلى قيمة أمطار في كل فنة .  
 $\bar{x}$  = معدل الأمطار .

٧) تطبيق طريقة Station-year لتحليل التكرار الإقليمي . وهذا النموذج يمثل في تركيب بيانات الأمطار في محطات المدينة لتعطي بيانات لفترة أطول تاوي مجموع سنى التسجيل في المحطات المستخدمة .

٨) حساب فترة الرجوع Return period وكذلك احتمالية التجاوز exceedance probability ومن ثم تحديد مواقع الرسم البياني Plotting Positions باستخدام طريقة Weibull . وتعد هذه الطريقة أكثر الطرق استخداماً لهذا الغرض : (Mitreja 1986; Chow 1988)

$$T = n + 1/m$$

$$p = 1/T = m / n + 1$$

حيث إن :

$T$  = فترة الرجوع بالسنوات .  
 $n$  = عدد السنوات خلال فترة التسجيل .  
 $m$  = رتبة كمية الأمطار .  
 $p$  = احتمالية التجاوز .

## المنخفضات الجوية المسيبة للأمطار

تقع الرياض ضمن المنطقة شبه المدارية Subtropical والتي تعد منطقة انتقالية بين المنطقة المدارية ومنطقة العروض الوسطى . والمنطقة شبه المدارية تقع تحت سيطرة الضغط المرتفع ولذا فإنها تتصف بوجود استقرار جوي وهواء هابط . وعملية هبوط الهواء تؤدي إلى حدوث تسخين ذاتي Adiabatic heating للهواء ورطوبة نسية منخفضة ، ولذا فإنه يساعد على جفاف السطح . وكقاعدة عامة السحب لا تتطور في مثل هذه الظروف حتى لو أدى ارتفاع درجة حرارة السطح إلى تكون ضغط منخفض وذلك لأنه بسبب الانقلاب الحراري الهبوطي Subsidence Inversion تكون طبقة الحمل Convection Layer غير سميكية (Critchfield, 1983) .

وعلى الرغم من وقوع وسط المملكة العربية السعودية ضمن نطاق الضغط المرتفع الدائم ، إلا أنه يتعرض بشكل غير منتظم ، لتأثير المنخفضات الجوية التي تعد المسبب الرئيسي لحدوث التساقط والعواصف الرعدية وذلك في الفترة من نوفمبر إلى مايو . فالأمطار في مدينة الرياض تعتمد على تأثير منخفضات البحر الأبيض المتوسط والمنخفضات المدارية .

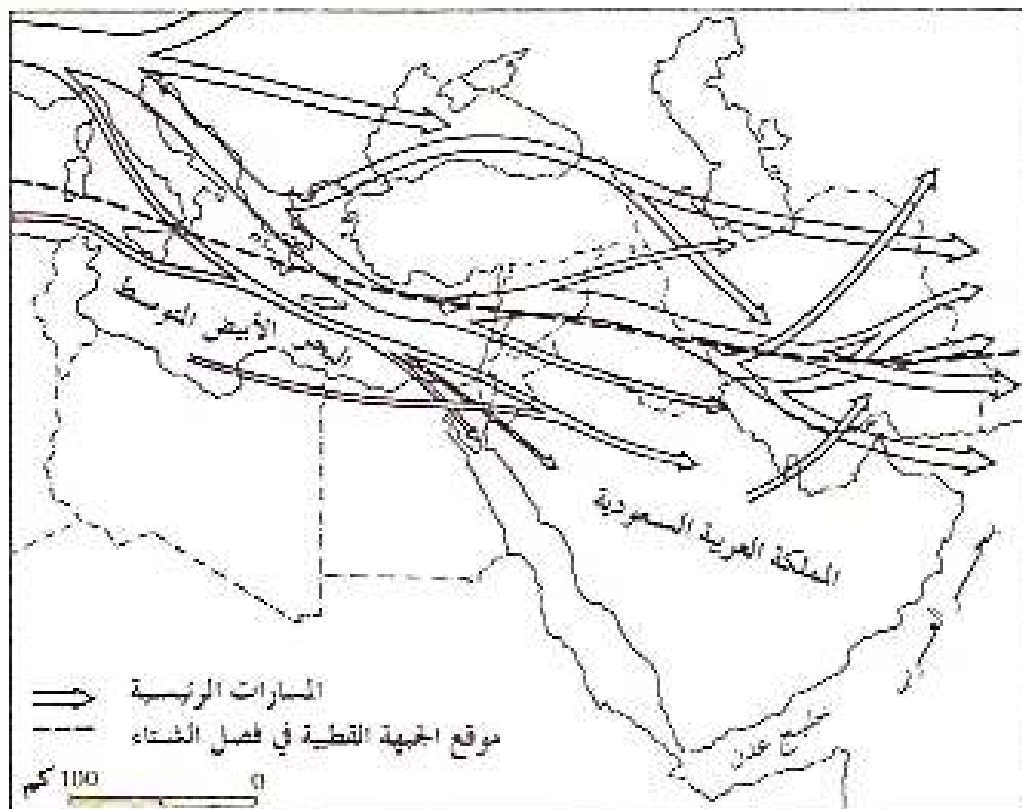
البحر الأبيض المتوسط منطقة انتقالية تقع في الوسط بين المناخ المعتدل الرطب Temperate maritime والمناخ الجاف شبه المداري ، ولذا تسيطر عليه الرياح الغربية في الشتاء بينما في الصيف يقع تحت تأثير الضغط المرتفع شبه المداري . فالشتاء في البحر الأبيض المتوسط يحل فجأة عندما تنهار خلية الضغط المرتفع الأزروري وذلك نتيجة لتحرك الضغط المرتفع شبه المداري

والتيار النساث شب المداري في أعلى طبقة التربوسفير المرتبط به إلى الجنوب . ويرتبط بهذا التغير دخول الجبهات القطبية (التي تفصل بين الكتل الهوائية القطبية والمدارية) إلى إقليم البحر الأبيض المتوسط . وتحت هذه الظروف وبسبب الارتفاع الشبي لدرجة حرارة مياه البحر تبدأ تطور الأعاصير الموجية (المنخفضات الجوية الجبهية Cyclones) فوق المحيط الأطلسي والبحر الأبيض المتوسط والتي تتحرك من الغرب إلى الشرق <sup>و ١٩٧٦</sup> (Beaumont, et. al Barry and Chorley 1992)

ففي الفترة من نوفمبر إلى أبريل تأثر الجزيرة العربية بمنخفضات البحر الأبيض المتوسط (شكل ٢) . وتسهم هذه المنخفضات بسبة كبيرة من كميات الأمطار في الجزيرة العربية وخاصة في الأجزاء الشمالية والشمالية الغربية لأن تأثير هذه الأعاصير يقل بالاتساع عن مصدر رطوبتها المنتهي في مياه البحر الأبيض المتوسط (عزيز ١٩٧١) . ويدرك أحمد (١٩٩٣) أن توغل منخفض السودان في المملكة يجلب معه الهواء الدافئ الرطب وبالتالي «يعظم تأثير هذه المنخفضات التي تتفاعل فيها الكتل الهوائية المتناقضة ، القطبية والمدارية ، عندما تتوافق مع مراكز التيارات النساثة القطبية وشب المدارية وعندما يتواكل منخفض السودان» (ص ٨٩) .

وقد ذكرت الشركة الاستشارية MacLaren International Limited (1979) في دراسة أجرتها عن المناخ والهيدرولوجيا الطحية للدرع العربي الجنوبي أنه في فصل الربيع (مارس وأبريل ومايو) يحدث تراجع وتقدم سريع وغير منتظم للجبهة بين المدارية (I.T.F) Intertropical Front (المنطقة الفاصلة بين الرياح الشمالية الشرقية والرياح التجارية الجنوبية الشرقية) ، الأمر الذي يؤدي إلى حدوث العواصف الرعدية وسقوط أمطار غزيرة في هذه المنطقة مما يجعلها تسهم بأكثر من ٧٥٪ من كمية الأمطار فيها . وعلى الرغم من أن سلسلة جبال

شكل رقم (٢) مارات المنخفضات الجوية القادمة من البحر الأبيض المتوسط



السروات تستنزف كميات كبيرة من المياه إلا أن الأمطار المرتبطة بهذه الرياح الرطبة يصل ، في بعض الأحيان ، تأثيرها إلى المناطق الداخلية .

ويتعرض وسط المملكة العربية السعودية في الشتاء أحياناً إلى تأثير الجبهات الدافئة Warm Fronts التي تعطي أمطاراً متوسطة وخفيفة ولكنها تغطي منطقة كبيرة وتستمر لعدة زمنية طويلة نسبياً . و يحدث مثل هذا التساقط عندما يصعد الهواء المداري الرطب فوق الهواء المستقر للكتلة القطبية القارية بسبب امتدادها جنوباً لتغطي أجزاء كبيرة من شبه الجزيرة العربية مكونة بذلك جبهة شبه ثابتة وموازية لخطوط العرض تقريباً . وذكر الكليب ( ١٩٩٠ ) بهذا الخصوص «أن الأجزاء الوسطى والشمالية من شبه الجزيرة العربية والخليج العربي تتأثر في بعض الأحيان بأمطار الجبهات الدافئة التقليدية وخاصة في أواخر ديسمبر وطال شهر يناير عندما تنشأ وتطور المنخفضات الجوية الجنوبيّة فوق وسط شبه الجزيرة العربية نفسها وتمر مراكزها فوق الكويت والبصرة تقريباً وتميز هذه بكونها قرية من الانتظام في مجموع الهطول في مناطق شاسعة» (ص ٧٦) .

إضافة إلى ذلك في فصل الربيع أحياناً وفي حالات نادرة جداً في فصل الصيف قد تكون الظروف مشجعة لحدوث تساقط التصعيد Convection في وسط المملكة العربية السعودية . ففي فصل الربيع ، على سبيل المثال ، تغطي الكتل الهوائية الباردة الأجزاء الشمالية من شبه الجزيرة العربية وذلك في أعقاب منخفضات البحر الأبيض المتوسط التي تعبّرها . وخلال يومين تقريباً من تأثير هذه الكتل الباردة تكون طبقة الحمل سميكه والحرارة فيها منخفضة بشكل كبير ، لذا فإن الظروف مشجعة ل تكون البح ر الرئامية والعواصف الرعدية عندما يتكون ضغط منخفض تحت هذه الكتلة الهوائية الباردة بسبب ارتفاع درجة حرارة السطح (الكليب ١٩٩٠) .

## الاختلاف الزماني والمكاني للأمطار

بلغت معدلات الأمطار السنوية في محطات مدينة الرياض ١,٥٨٥ مم و٩٧,٩ مم و٦,١ مم في محطة الرياض وفي محطة مطار الرياض القديم وفي محطة مطار الملك خالد على التوالي ، وذلك بفارق ٢٦,٥ مم بين أعلى وأدنى معدل سنوي في محطات المدينة . وربما يعود هذا الفرق الكبير إلى فصل فترة التسجيل في محطة مطار الملك خالد . وتبين من سجل الأمطار في محطات مدينة الرياض أن موسم مقوسط الأمطار يعتمد من شهر أكتوبر إلى شهر مايو ، ولكن هذا لا يعني أن الأمطار تسقط باظام في هذه الفترة بل أنه من المتوقع أن تسقط الأمطار في هذا الموسم . وتبين من سجل الأمطار أيضاً أن الأمطار في شهور الصيف نادرة جداً . أما شهر سبتمبر فهو الشهير الوحيد الذي لم تسقط فيه كمية كبيرة من الأمطار خلال فترة التسجيل . من ناحية أخرى ، أكبر معدل شهري للأمطار في محطات المدينة وجد في شهر إبريل ويليه في الترتيب شهر مارس . فمعدلات الأمطار الشهرية في هذين الشهرين تمثل ٤٧٪ و٥٦٪ و٥٢٪ من معدلات الأمطار السنوية في محطة الرياض ومحطة مطار الرياض القديم ومحطة مطار الملك خالد على التوالي . وهذه النسبة العالية للأمطار في هذين الشهرين ربما تعزى إلى تأثير الأمطار في وسط المملكة العربية السعودية في هذه الفترة بكل من الهواء القطبي الرطب القادم من البحر الأبيض المتوسط والهواء المداري الرطب القادم من المحيط الهندي والبحر العربي .

وكما هو معروف الاختلاف الزماني والمكاني لبعض الخصائص الرئيسية للأمطار في المملكة ( Alyamani and Jones, et al. 1991; Wheather, 1981; Sen, 1993) الصالح ، ١٩٩٤ ؛ اليد ، ١٩٩٥ ) . والسبب الرئيسي في ذلك

هو اختلاف مسارات Tracks المنخفضات الجوية المصحوبة ، غالباً ، بالعواصف الرعدية والتي تؤدي إلى حدوث أمطار غزيرة مصحوبة في بعض الأحيان بالبرد ، إضافة إلى ذلك عدم انتظام عبور (غزو) هذه المنخفضات للمملكة . وللحصول على فكرة كاملة عن الاختلاف الزمانى والمكاني للأمطار في مدينة الرياض ، فقد تم تطبيق العديد من الطرق الإحصائية مع تركيز خاص على الطرق التي تبرز الاختلاف المكاني وذلك لأن تطبق أكثر من طريقة لا يعني التكرار يقدر ما هو تأكيد للنتائج وبالتالي يعطي صورة أكثر وضوحاً عن عدم تجانس التوزيع الجغرافي للأمطار .

الاختلاف الزمانى للأمطار يمكن تحديده بحسب معامل الاختلاف Coefficient of Variation . ومن جدول رقم (١) يتبيّن أن معامل الاختلاف للأمطار اليومية والأمطار الشهرية عالي جداً . فلقد بلغ معامل الاختلاف للأمطار اليومية ١٤٦٪ في محطة الرياض و١٣٨٪ في محطة مطار الرياض القديم و١٢٢٪ في محطة مطار الملك خالد والانخفاض النسبي لمعامل الاختلاف في محطة مطار الملك خالد ربما يعود إلى قصر فترة التسجيل (١٠ سنوات) . أما معامل الاختلاف للأمطار الشهرية (في موسم الأمطار من شهر نوفمبر إلى شهر مايو) فيترواح بين ٧٪٩٧ و٢٢٣٪ في محطة الرياض وبين ٧٪١٠٧ و٧٪١٨٩ في محطة مطار الرياض القديم . ومن ناحية أخرى قيم معامل الاختلاف لأعلى كمية أمطار يومية في السنة وللأمطار السنوية في كل من محطة الرياض ومحطة مطار الرياض القديم أقل بكثير من قيم معامل الاختلاف للأمطار اليومية وللأمطار الشهرية في هاتين المحطتين . ففي محطة الرياض ، على سبيل المثال ، بلغت نسبة معامل الاختلاف لأعلى كمية أمطار يومية في السنة وللأمطار السنوية ٤٥٪ و٥٤٪ على التوالي .

جدول رقم (١) الاختلاف الزماني والمكاني للأمطار في مدينة الرياض

الموسم العام الجغرافية	الأمطار الشهرية												نوع المطر برقم	المحطة	
	١٢	١١	١٠	٩	٨	٧	٦	٥	٤	٣	٢	١			
٨٥,١	٢٢,٥	٦,٤	٠,٨٣	٠	٠,٣٤	٠,٢٣	٠,٠٣	٧,٩	٢١,٨	٢٦,٣	٨,٢	١٤,١	١٨,٠	٢١,٥	المعدل
٢٣,١	٢٧,٣	٣,٣	١,٤٣	٠	٠,٩٣	٠,٧٦	٠,١٣	٩,٤	٢٢,٣	٢٤,٥	١٠,٧	٩٠,٣	٨,٦	٣,١	الانحراف المعياري
٥٤	١٧٩	٢٢٣	٢٧٦	٠	٢٠٠	٢١٦	٧٣٠	١٧٦	١٠٤	٩٧	٩٣	١٦٣	٤٦	١٤٣	معامل الاختلاف٪
٩٧,٩	١٠,٤	١,٦	١,٧٣	٠	٠,٣٧	٠,٣٢	٠	٩,١	٢٣,٧	٢٢,٦	٧,٤	١٢,٣	٢٠,٦	٦,٣	المعدل
٧٤,٠	١٢,٣	٢,٣	٢,٧٧	٠	٠,٧٧	١,٧٧	٠	٩,٣	٢٦,٠	٢٧,٣	١١,٣	٢٢,٩	١١,٦	٣,٣	الانحراف المعياري
٧٩	١٧١	١٦٩	١٧١	٠	٢٧١	٢٦٨	٠	١٧٦	٢٧٦	١٠٧	١٧٨	١٦٦	٥٧	١٧٦	معامل الاختلاف٪
٦١,٦	١٢,٦	٠,٨٦	٠,١٦	٠	٠	٠	٠	٩,٣	٢٣,٤	٢١,٦	١٣,٦	١٤,٦	٢٣,٤	٤,٤	المعدل
٢٦,٣	١٢,٣	١,٦	٠,٧٣	٠	٠	٠	٠	٩,٣	٢٦,٣	٢٦,٣	١٦,٣	٦١,٣	٩,٣	٣,٣	الانحراف المعياري
٧	١٠٣	٢٠٧	٢٣٤	٠	٠	٠	٠	٧,٦	٢٩,١	١٠٧	٩٨	٢٧	٢٧	٢٦	معامل الاختلاف٪
٣,٨٧	١,٣٣	١,٣٣	١,٣٣	٠	٠,٣٩	٠,٣١	٠	٠,٧٣	٠,٧٣	٠,٧٣	٠,٧٣	١,٣٣	٠,٣٣	٠,٣٣	المعدل (١) المعدل (٢)

الاختلاف المكاني أيضاً إحدى الخصائص الرئيسية للأمطار في بيئة الصحراء الدافئة . وفى مدينة الرياض تختلف كمية الأمطار من مكان إلى آخر . فمحطة الرياض تقع إلى الجنوب من محطة مطار الرياض القديم والمسافة بينهما حوالي ١٥ كم ، وبمقارنة بيانات الأمطار في المحطتين فإنه

يمكن ملاحظة الاختلاف المكانى للأمطار . فعلى سبيل المثال ، في يوم ٢٢ مارس من سنة ١٩٧٢م كانت كمية الأمطار في محطة الرياض ١٥ مم بينما سجلت محطة مطار الرياض القديم أكثر من ٥٦ مم في ذلك اليوم . ودرجة الاختلاف المكانى للأمطار في هذه المنطقة الجغرافية الصغيرة تظهر <sup>هابو</sup><sub>بوضوح</sub> نتائج التحليل الإحصائي لبيانات الأمطار .

تعد طريقة النسب Risico من أبسط الطرق الإحصائية للتعرف على درجة الاختلاف المكانى للأمطار . ومن المعروف أن النسبة بين معدلات الأمطار تكون واحداً أو قريباً منه في المناطق التي يكون فيها التوزيع المكانى للأمطار متجانساً والعكس صحيح . وفي هذه الدراسة تم الحصول على النسب بقسمة المعدلات اليومية وأعلى كمية أمطار يومية في السنة والشهرية والسنوية في محطة الرياض على نظيراتها في محطة مطار الرياض القديم (انظر جدول رقم ١) . والنسب التي تم الحصول عليها إما أكبر أو أصغر من واحد مما يدل على الاختلاف المكانى في المدينة . فنسبة معدلات الأمطار اليومية ومعدلات أعلى كمية أمطار يومية ومعدلات الأمطار السنوية للمحطتين تكون ٧٨، ٨٩، ٨٧، على التوالي . أما نسبة معدلات الأمطار الشهرية في موسم سقوط الأمطار فلأنها تتراوح بين ٧٠، ٦٣، ٦١ . إضافة إلى ذلك ، بعد معامل الارتباط بين كميات الأمطار في المحطات المختلفة مقيداً لتحديد درجة التباين المكانى للأمطار ، وذلك لأنه كلما صغرت قيمة معامل الارتباط أو كانت سالبة كانت درجة التباين المكانى أكبر . وبتعزيز هذه الطريقة الإحصائية على بيانات الأمطار في محطات الرياض تبين أنه لا توجد علاقة طردية جيدة بين كميات الأمطار ما عدا العلاقة بين كميات الأمطار السنوية في محطتي الرياض ومطار الرياض القديم (معامل الارتباط (٢) ٩٤٩ ) (جدول رقم ٢) . فالعلاقة بين كميات الأمطار اليومية في المحطات متخففة

إذ يتراوح معامل الارتباط (٢) بين ٥٤١، و٦٥٣، أما العلاقة بين أعلى كمية أمطار يومية في السنة للمحطات فليست ضعيفة فحسب بل إنها سالبة بين محطة الرياض ومحطة مطار الملك خالد (قيمة معامل الارتباط -٢٤٥-). ومن قيم معامل الارتباط السابقة يتبع العدل الكبير للاختلاف المكانى للأمطار في منطقة جغرافية صغيرة .

## التحليل التكراري للأمطار

المتفحص لسجل الأمطار في محطات مدينة الرياض يدرك أن معظم الأمطار اليومية سقطت بكميات قليلة . فعلى سبيل المثال ، يتبين من نتائج التكرار النبوي للأمطار اليومية أن حوالي ٧٩٠٪ من الأمطار اليومية لا تزيد كميتها على ١٠ مم . ولكن في المقابل يحتوي سجل الأمطار اليومية على حالات قليلة تسقط فيها كميات كبيرة نسبياً وفي الوقت نفسه تعد فعالة . وبالتالي الكبير في كميات الأمطار في البيانات الجافة يزخر ، بلا شك ، على دقة التوقعات المستقبلية Prediction ، وبالرغم من ذلك تستخدم بيانات الأمطار فيتين الماضية لتقدير كميات الأمطار لفترات الرجوع المختلفة . وعليه فإن تطبيق طريقة التحليل التكراري على أعلى كمية أمطار يومية في السنة يمكن أن تعطي توقعات مستقبلية مقبولة لحوادث الأمطار الفصوى Extreme events .

وحيث إن التوزيع الاحتمالي للقيم الفصوى نوع ١ يستخدم ، عادة في التحليل التكراري لحوادث الأمطار الفصوى ، لذا فقد تم تطبيق هذه الطريقة على أعلى كمية أمطار يومية في السنة على المستوى الموضوعي وعلى المستوى الإقليمي لمدينة الرياض . وقد تم استخدام طريقة مربع كاي لاختبار حسن مطابقة Goodness of Fit لهذا التوزيع مع بيانات الأمطار . وحيث إن درجة الحرية لهذا التوزيع تساوي عدد الفئات ناقص ثلاثة ( $3 - m = 3 - 3 = 0$ ) ، لذا فقد قسمت كميات الأمطار إلى أربع فئات بفواصل قدره ١٠ مم (جدول رقم ٣) .

يتضح من هذا الجدول أن قيم التكرار المشاهد (التكرار النسبي)  $f_{(x)}^{(i)}$  وقيم التكرار المتوقع  $f_{(x)}^{(j)}$  في كل فئة من فئات الأمطار لا تختلف كثيراً عن بعضها البعض ، الأمر الذي أدى إلى انخفاض فيم مربع كاي . فمن جدول (٣)

يتبيّن أن مجموع قيم مربع كاي (المحسوبة) للتوزيع الاحتمالي للقيم الفصوى نوع ١ تكون ٤٨٧٨١، و ٥٣١٨، و ١٤٩١، لمحطة الريانس ومحطة مطار الريانس القديم وللإقليم على التوالي (يقصد بالإقليم هنا مدينة الريانس بشكل عام وقد طبق لهذا الغرض طريقة Station-year). وحيث إن درجة الحرية تساوي واحداً، لذا فإنّ القيمة الحرجية (القيمة الجدولية) لمربع كاي عند متغيرات الدلالة ٠٠٥ و ٠٢٠، تكون ٢,٨٤١ و ٢,٧٦٦ على ١,٦٤٢.

جدول رقم (٢) معامل الارتباط بين كميات الأمطار في مدينة الريانس

(٣)	(٢)	(١)	المحطة	
		١,٠٠٠	(١)	الأمطار اليومية
	١,٠٠٠	٠,٦٠١	(٢)	
١,٠٠٠	٠,٦٥٣	٠,٥٤١	(٣)	أعلى كمية أمطار يومية
		١,٠٠٠	(١)	
	١,٠٠٠	٠,٤٨٠	(٢)	الأمطار السنوية
١,٠٠٠	٠,٢٢٦	٠,٢٤٥-	(٣)	
		١,٠٠٠	(١)	الأمطار السنوية
	١,٠٠٠	٠,٩٤٩	(٢)	
١,٠٠٠	٠,٨٥٢	٠,٧٩٧	(٣)	

(١) محطة الريانس -

(٢) محطة مطار الريانس القديم

(٣) محطة مطار الملك خالد .

**جدول رقم (٣) تطبيق التوزيع الاحتمالي للتقييم القصوى نوع ١  
على أعلى كمية أمطار يومية في السنة بجدة الرياض**

المحطة	نسبة الأمطار (%)	النكرار mi	النكرار التكراري f(xi)	الاحتمالية التجمعية F(xi)	قيم الاحتمالات التجمعية p(xi)	الفرق بين مربع كاي $\chi^2$
محطة الرياض	أقل من ١٠	٥	٠,١٦٦٧	٠,١٢٥٠	٠,١٢٥٠	٠,٤١٧٣
	٢٠ - ١٠	١٥	٠,٥٠٠٠	٠,٥٢٣٤	٠,٥٢٣٤	٠,٠٣٦٤
	٣٠ - ٢٠	٧	٠,٢٣٣٢	٠,٨٩٩٨	٠,٢٥١٤	٠,٠٣٩١
	أكبر من ٣٠	٣	٠,١٠٠٠	٠,١٠٠٢	١,٠٠٠٠	٠,٠٠٠٠٩
<b>المجموع</b>						٠,٤٨٨٨١
محطة مطار الرياض القديم	أو أقل ١٠	٤	٠,١٩٧٩	٠,١٧٦٦	٠,١٧٦٦	٠,٦٧٦٦
	٢٠ - ١٠	١٢	٠,٤٢٨٦	٠,٤٨٧٨	٠,٣١٩٨	١,٠٣٦٦
	٣٠ - ٢٠	٨	٠,٢٨٥٧	٠,٨٧٤٢	٠,٣٤٤٠	٠,٣٤٧٩
	أكبر من ٣٠	٤	٠,١٤٢٨	١,٠٠٠٠	٠,١٧٩٧	١,٠٧٦٨
<b>المجموع</b>						١,٥٣٦٨
الإقليم	أو أقل ١٠	٩	٠,١٣٢٤	٠,١٢١٩	٠,١٢١٩	٠,٠٧٦٥
	٢٠ - ١٠	٢١	٠,٤٠٩٩	٠,٤٦٨٦	٠,٣٧٤	٠,٠٣٧٤
	٣٠ - ٢٠	٢١	٠,٣٠٨٨	٠,٨٧١٦	٠,٢٨٦٦	٠,١٨٥٦
	أكبر من ٣٠	٧	٠,١٠٢٩	١,٠٠٠٠	٠,١٢٨٤	٠,٣٤٤٤
<b>المجموع</b>						٠,٧١٤٩

التوالي . وبمقارنته قيم مربع كاي المحسوبة مع القيم الحرجة لمربع كاي في الجداول الخاصة به يتضح أن القيم المحسوبة للتوزيع الاحتمالي للقيم الفصوصى نوع ١ أقل من القيم الحرجة عند مستوى الدلالة ٢٠٪ . وهذا يعني أن أعلى كمية أمطار يومية في السنة في مدينة الرياض تتبع التوزيع الاحتمالي للقيم الفصوصى نوع ١ (١٧١) عند مستوى الدلالة ٢٠٪ .

وبتطبيق هذا النموذج تم تحديد العلاقة بين الكمية والتكرار لأعلى كمية أمطار يومية في السنة بمدينة الرياض ، وعليه فإن النماذج الرياضية المستخلصة يمكن استخدامها للحصول على تقديرات مقبولة لكميات الأمطار في فترات الرجوع المختلفة . ومعادلات التوقعات المستقبلية يمكن كتابتها على التحو التالي :

١) لمحطة الرياض :

$$xT = 14.367 + 6.375 yT$$

٢) لمحطة مطار الرياض القديم :

$$xT = 15.0234 + 8.9876 yT$$

٣) للإقليم (مدينة الرياض بشكل عام) :

$$xT = 15.1795 + 7.3657 yT$$

حيث إن :

$xT$  = كمية الأمطار المقدرة بالعملية للفترة الرجوع المختارة .

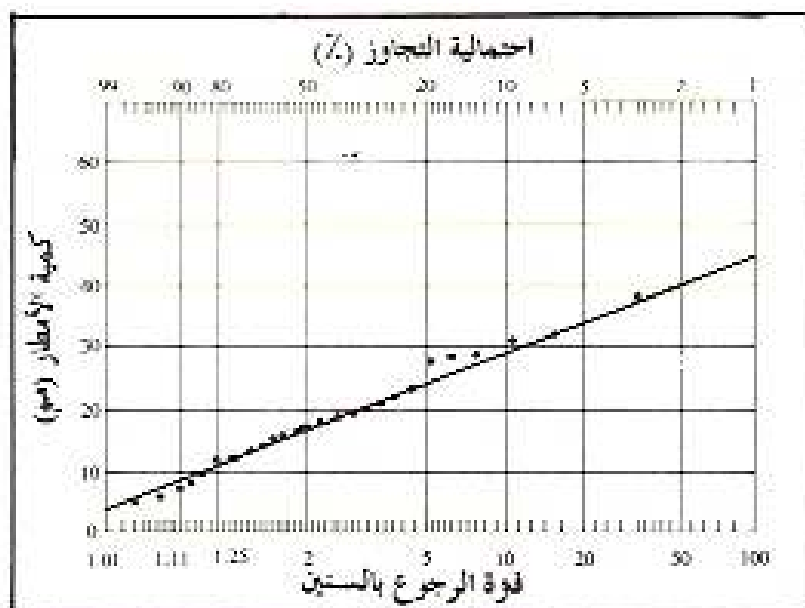
$yT$  = المتغير المخفف Reduced Variate لفترة الرجوع المختارة وبحسب من المعادلة التالية :

$$yT = \ln [\ln (1/T - 1)]$$

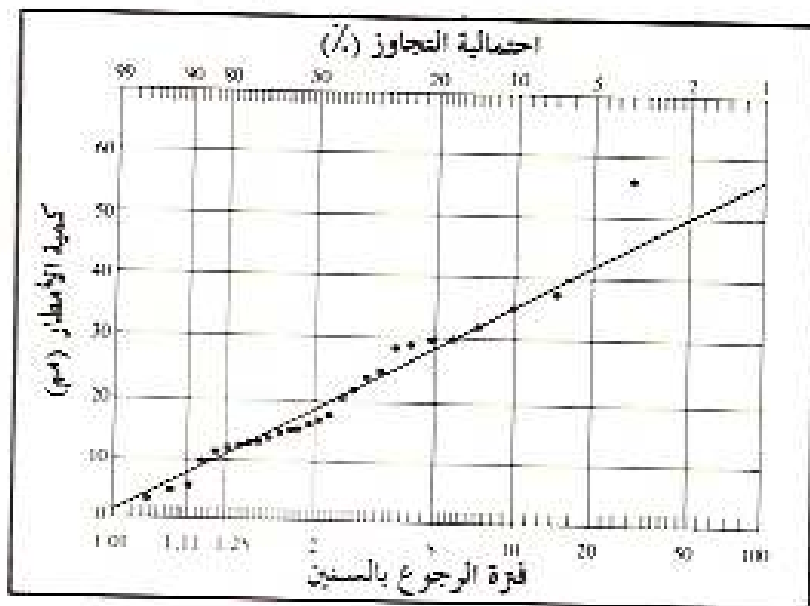
$T$  = فترة الرجوع بالسنين .

وحيث أن التعرف على تكرار حوادث الأمطار الفصوى يتم باستخدام طريقة فنرة الرجوع والاحتمالية ، لذا فإن رسم بيانات الأمطار المشاهدة ورسم خط مستقيم للقيم المحسوبة على الورق البياني الخاص بهذا التوزيع يسهل تحديد فنرة الرجوع واحتمالية التجاوز . كما أنه أيضاً يبرز مدى التوافق بين البيانات المشاهدة والقيم المحسوبة ويسهل عملية المقارنة . وبما أن طريقة Weibull تعد أكثر الطرق استخداماً لتحديد موقع الرسم البياني Plotting positions ، لذا فقد تم تطبيقها لتمثيل العلاقة بين الكمية والتكرار لأعلى كمية أمطار يومية في محطة الرياض ومحطة مطار الرياض القديم والإقليم (الأشكال ٣ و٤ و٥) .

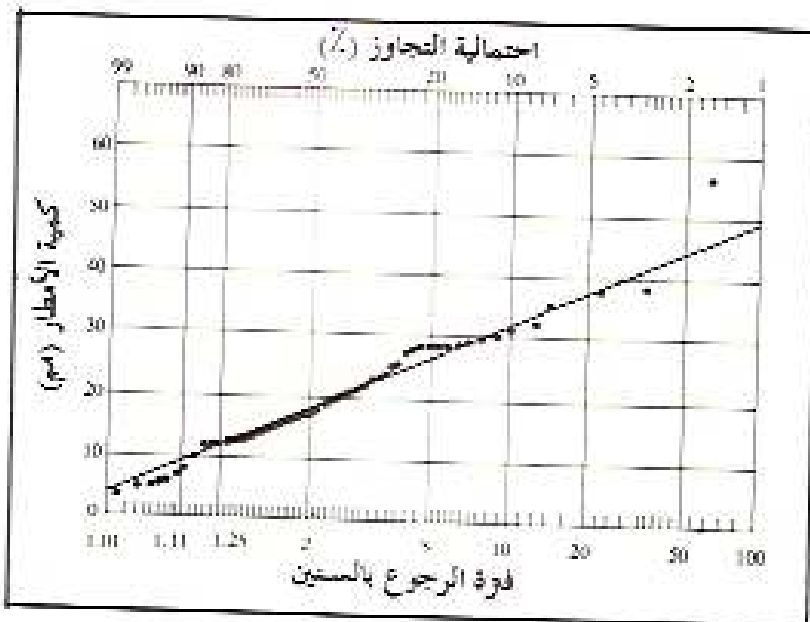
شكل رقم (٣) العلاقة بين الكمية والتكرار لأعلى كمية أمطار يومية في السنة  
(محطة الرياض)



شكل رقم (٤) العلاقة بين الكمية والتكرار لأعلى كمية أمطار يومية في السنة  
(محطة مطار الرياض القديم)



شكل رقم (٥) العلاقة بين الكمية والتكرار لأعلى كمية أمطار يومية في السنة  
(الدقهلية)



## الخلاصة والخاتمة

وحيث إن توفر بيانات الأمطار لفترة طويلة من الزمن تمكن من الحصول على نتائج جيدة عند دراسة خصائص الأمطار في منطقة جغرافية معينة ، لذا فإن القصر النببي لفترة تسجيل بيانات الأمطار (حوالي ٣٠ سنة) في مدينة الرياض له تأثير بالتأكيد على دقة نتائج هذه الدراسة . ولكن في الوقت نفسه ، مثل هذه البيانات يعتقد أنها كافية لإعطاء نتائج بدرجة مقبولة إن لم تكن مرضية عن التوزيع الزمانى والجغرافي للأمطار في مدينة الرياض .

وتشير نتائج التحليل الإحصائى لبيانات الأمطار اليومية والشهرية والسنوية إلى أن الأمطار في مدينة الرياض تختلف بدرجة كبيرة من زمان إلى آخر ومن مكان إلى آخر . فلقد بلغ معامل الاختلاف للأمطار اليومية ١٤٦٪ في محطة الرياض و ١٣٨٪ في محطة مطار الرياض القديم و ١٢٢٪ في محطة مطار الملك خالد . أما معامل الاختلاف للأمطار الشهرية في موسم سقوط الأمطار فإنه يتراوح بين ٩٧٪ و ٢٣٣٪ في محطة الرياض وبين ١٠٧٪ و ١٨٩٪ في محطة مطار الرياض القديم . وفي الوقت نفسه يتضح من نتائج التحليل الإحصائي أن درجة الاختلاف الزمانى للأعلى كمية أمطار يومية في السنة وللأمطار السنوية أقل بكثير مقارنة بالأمطار اليومية والشهرية . ففي محطة الرياض بلغت نسبة معامل الاختلاف للأعلى كمية أمطار يومية في السنة وللأمطار السنوية ٤٥٪ و ٤٥٪ على التوالى .

من ناحية أخرى ، تبين نتائج التحليل الإحصائي المدى الكبير للاختلاف المكاني للأمطار في منطقة جغرافية صغيرة . فعلى الرغم من أن المسافة بين محطة الرياض ومحطة مطار الرياض القديم تساوي حوالي ١٥ كم ، إلا أن نسب معدلات الأمطار وقيم معامل الارتباط بين كميات الأمطار في هاتين المحطتين تثبت الاختلاف الكبير في التوزيع الجغرافي للأمطار . فنسب

معدلات الأمطار اليومية ومعدلات أعلى كمية أمطار يومية في السنة ومعدلات الأمطار السنوية للمحطتين تكون ٨٩,٧٨,٨٧ على التوالي . أما تباين معدلات الأمطار الشهرية في موسم سقوط الأمطار فإنها تتراوح بين ٧٠, ٢٦, ١ . بالإضافة إلى ذلك ، تبين أنه لا توجد علاقة طردية جيدة بين كميات الأمطار مما عدا العلاقة بين كميات الأمطار السنوية في محطة الرياض ومطرار الرياض القديم (معامل الارتباط (٠,٩٤٩) ) . إضافة إلى ذلك العلاقة كانت سالبة بين أعلى كمية أمطار يومية في السنة في محطة الرياض ومحطة مطار الملك خالد (قيمة معامل الارتباط - ٠,٢٤٥) .

ويوضح من هذه الدراسة أيضاً أن أعلى كمية أمطار يومية في السنة في مدينة الرياض تتبع التوزيع الاحتمالي للقيم الفصوى نوع ١ (EVI) عند مستوى الدالة ٢٠ ، مما يعني أن هذا التوزيع متواافق مع التوزيع المشاهد بدرجة مرخصية . وعليه فقد طبق هذا النموذج لتحديد العلاقة بين الكمية والتكرار لأعلى كمية أمطار يومية في السنة بمدينة الرياض . ونتج عن ذلك استخلاص معدلات يمكن استخدامها للحصول على تقديرات مقبولة لكميات الأمطار في فترات الرجوع المختلفة .

وفي الختام يمكن القول إن نتائج هذه الدراسة سوف تساعد المخططين والمصممين وذلك عند العمل على حل المشاكل المرتبطة بتصريف الرياح في المدينة أو عند التخطيط للاستفادة من هذه المياه . وبالإضافة إلى ذلك ، الأمطار في وسط المملكة العربية السعودية تتأثر بمتغيرات البحر الأبيض المتوسط والمتغيرات المدارية ، الأمر الذي يجعل من هذه الدراسة مثالاً نموذجياً لخصائص الأمطار في وسط المملكة . أي أن تحليل بيانات الأمطار لفترة تسجيل تقارب ٣٠ سنة لا يقتصر فائدته على مدينة الرياض بل مفيدة أيضاً للمنطقة الوسطى من المملكة العربية السعودية .

## شکر وتقدير

يسعدني أن أتقدم بخالص الشكر والتقدير للمؤولين في قسم الهيدرولوجيا بوزارة الزراعة والمياه وفي مصلحة الأرصاد وحماية البيئة بالرياض على تعاونهم وتزويدي ببيانات الأمطار اليومية لمحيطات مدينة الرياض . ويسري أيضاً أن أدون شكري وتقديري للأستاذ صلاح الدين سليمان تركي ، خبير إنتاج الخرائط بقسم الجغرافيا ، جامعة الملك سعود ، الذي قام برسم وإنماض الأشكال في هذه الدراسة .

## المراجع

- أحمد، بدر الدين يوسف محمد، (١٩٩٣)، مناخ المملكة العربية السعودية، سلسلة رسائل جغرافية، العدد رقم ١٥٧، الجمعية الجغرافية الكويتية، جامعة الكويت.
- السيد، عبدالملك قسم، (١٩٩٥)، احتمالات هطول الأمطار ودرجة الاعتماد عليها في المملكة العربية السعودية، سلسلة بحوث جغرافية، العدد رقم ٢١، الجمعية الجغرافية السعودية، جامعة الملك سعود، الرياض.
- الشريف، عبدالرحمن صادق، (١٩٧٣)، الأحوال المناخية في مدينة الرياض، مجلة كلية الآداب، جامعة الرياض، م ٣، ص ٢٧٣ - ٣١٦.
- الصالح، محمد عبدالله، (١٩٩٤)، التحليل التكراري لكميات الأمطار في منطقة القصرين بالمملكة العربية السعودية، سلسلة بحوث جغرافية، العدد رقم ١٧، الجمعية الجغرافية السعودية، جامعة الملك سعود، الرياض.
- الكليب، عبدالملك علي، (١٩٨٢)، الأمطار في شبه الجزيرة العربية، في كتاب: الندوة الأولى لمستقبل الموارد المائية بمنطقة الخليج وشبه الجزيرة العربية - الموارد المائية الطبيعية، مجلة دراسات الخليج والجزيرة العربية، المجلد الثاني، ص ١٠٨ - ١٣١، الكويت.
- الكليب، عبدالملك علي، (١٩٩٠)، مناخ الخليج العربي، دار السلام، الكويت.
- النص، عزة، (١٩٧٠)، المزاج الطبيعي لمنطقة نجد، مجلة كلية الآداب، جامعة الرياض، م ١، ص ٩ - ٣٧.

- عزيز، مكي محمد، (١٩٧١)، الأمطار في المملكة العربية السعودية، مجلة كلية الآداب، جامعة الرياض، م ٢، ص ٢٣٩ - ٢٨٨ .
- محمدبن، محمد محمود، (١٩٨٩) التمط الكلمي والزمني لأمطار الرياض، في كتاب : حلقة الدراسات الصحراوية في المملكة العربية السعودية - مجالاتها والمهتمون بها ، ص ٢٢٩ - ٢٢٨ .
- موسى، علي، (١٩٨٢)، الوجيز في المناخ التطبيقي ، دار الفكر ، دمشق .
- AlShaikh, A., (1985). Rainfall Frequency Studies for Saudi Arabia, Unpublished M. Sc. Thesis, Department of Civil Engineering, King Saud University, Riyadh.
- Alyamani, M.S. and Z. Sen, (1993), Regional variations of monthly rainfall amounts in the Kingdom of Saudi Arabia, JKAU: Earth Sci., Vol. 6, pp. 113 - 133.
- Barth, H.K. and F. Quiel, (1987), Riyadh and its development, Geojournal, Vol. 15, pp. 39 - 46.
- Barry, R.G. and R.J. Chorley, (6th ed), (1992), Atmosphere, weather & climate, Routledge, London.
- Beaumont, P., et al, (1976), The Middle East: a geographical study, John Wiley & Sons, Chichester, U. K.
- Chow, V. T., et al., (1988), Applied Hydrology, McGraw-Hill Book Company, Singapore.
- Critchfield, H.J., (4th ed), (1983), General climatology, Prentice-Hall, Inc., Englewood Cliffs, New Jersey.
- Dune, T. and L. B. Leopold, (1978), Water in Environmental Planning, W. H. Freeman and Company, San Francisco.

- Jones, K. R., (1981). Arid Zone Hydrology for Agricultural Development, FAO, Rome.
- MacLaren International Limited, (1979). Water and agricultural development studies Arabian Shield-South; climate and surface hydrology, Annex 8, Minstry of Agriculture and Water, Saudi Arabia.
- Mutreja, K.N., (1986), Applied hydrology, Tata McGraw-Hill Publ. Co. Ltd., New Delhi, India.
- Oyehande, L., (1982), Deriving Rainfall Intensity - Duration - Frequency Relationships and Estimates for Regions With Inadequate Data, Hydrological Sciences Journal, Vol. 27, pp. 353-367.
- Taha, M. H., et. Al., (1981). The climate of the Near East, in: K. Takahasi, et. al., (eds), Climate of Southern and Western Asia, Elsevier Scientific Publ. Co.
- Wan, P. (1976). Point Rainfall Characteristics of Saudi Arabia, Proc. Instn. Civ. Engrs., Part 2, pp. 179 - 187.
- Wheather, H. S., et. al., (1991). A multivariate spatial-temporal model of rainfall in Southwest Saudi Arabia. I. Spatial rainfall characteristics and model formulation, Journal of Hydrology, Vol. 125, pp. 175 - 199.